

# 酵母来源 $\alpha$ -1,2 甘露糖转移酶 Alg11 的异源表达、纯化和活性分析<sup>—</sup>

李庆猛 李盛陶 王宁 高晓冬\*\*

(江南大学 生物工程学院 糖化学与生物技术教育部重点实验室 无锡 214122)

**摘要** 糖基转移酶 Alg11 作为 N-糖基化途径中一个重要蛋白, 功能为催化将甘露糖转移到底物 DPGn<sub>2</sub>M<sub>3</sub> (Dolichyl-pyrophosphate-GlcNAc<sub>2</sub>Mannose<sub>3</sub>) 上进而生成 DPGn<sub>2</sub>M<sub>4</sub> 和 DPGn<sub>2</sub>M<sub>5</sub> 这两种多萜醇寡糖前体的反应。在本研究中, 首先通过对酿酒酵母 Alg11 的蛋白质结构进行分析, 设计了去除跨膜域的蛋白 Alg11<sub>45-548</sub> 并成功在大肠杆菌中表达, 进而对诱导时间、诱导剂浓度进行了产量最大化的优化, 最终得到了纯化蛋白。以 PPGn<sub>2</sub> (Phytanyl-pyrophosphate-GlcNAc<sub>2</sub>) 为底物, 利用体外表达的重组蛋白 Alg1 $\Delta$ TM 和 Trx-Alg2 以酶法合成出 Alg11 的天然底物类似物 PPGn<sub>2</sub>M<sub>3</sub>。用纯化的 Alg11<sub>45-548</sub> 蛋白催化转糖基反应, 并通过液质联用 (LC-MS) 的方法检测产物, 证实 Alg11<sub>45-548</sub> 蛋白具有催化 PPGn<sub>2</sub>M<sub>3</sub> 生成 PPGn<sub>2</sub>M<sub>4</sub> 和 PPGn<sub>2</sub>M<sub>5</sub> 的糖基转移酶活性。产物 PPGn<sub>2</sub>M<sub>5</sub> 通过不同的甘露糖苷酶酶切反应, 验证了两个新加上的甘露糖以  $\alpha$ -1,2 糖苷键的形式连接到底物 PPGn<sub>2</sub>M<sub>3</sub> 上。底物特异性实验表明 Alg11<sub>45-548</sub> 可以特异性识别底物 PPGn<sub>2</sub>M<sub>3</sub>, 而其他 N-糖基化中间体类似物如 PPGn<sub>2</sub> 和 PPGn<sub>2</sub>M<sub>1</sub> 无法被识别, 且底物中的脂肪链结构也对酶的识别具有重要作用。Alg11 的底物特异性保证了多萜醇寡糖前体的有序合成, 具有重要的生理意义。

**关键词** N-糖基化 糖基转移酶 Alg11 液质联用 (LC-MS) 诱导条件

<sup>—</sup> 国家自然科学基金 (21778023)、江苏省自然科学基金 (BK20170174)、中央高校自主科研计划青年基金 (JUSRP11727)、江苏省现代工业发酵协同创新中心

\*\*通讯作者, 电子邮箱: xdgao@jiangnan.edu.cn

糖基化是自然界中发现的一种普遍的蛋白质修饰过程，其中包括 N-糖基化，O-糖基化，GPI 锚定等<sup>[1]</sup>。蛋白质的 N-糖基化修饰发生在内质网和高尔基体中，内质网中的糖基化反应在各种生物具有高度保守性。在真核生物中，这些 N-糖链在多种生理过程中发挥着关键作用，如蛋白质折叠、定位和分泌，同时与某些免疫反应相关<sup>[2]</sup>。

在内质网中，N-糖基化起始于磷酸多萜醇前体的合成，在一系列的 Alg（Asparagine-linked glycosylation）糖基转移酶包括 Alg7、Alg13、Alg14<sup>[3-5]</sup>、Alg1、Alg2、Alg11<sup>[6, 7]</sup>、Alg3、Alg9、Alg12、Alg6、Alg8、Alg10 的催化作用下<sup>[8]</sup>，以四种不同的糖基为供体<sup>[9]</sup>，最终形成多萜醇寡糖前体（Dolichyl-pyrophosphate-GlcNAc<sub>2</sub>Man<sub>9</sub>Glucose<sub>3</sub>）。最后在寡糖基转移酶复合体 OST（Oligosaccharyltransferase complex）的催化下<sup>[10]</sup>，寡糖链被转移到新生多肽段表面的三联体序列 Asn-X-Ser/Thr（N-X-S/T，X 为脯氨酸以外的氨基酸）中的天冬酰胺（N）残基上<sup>[2]</sup>。

糖基转移酶 Alg11 作为 N-糖基化过程中一个重要蛋白，其大小为 63.1 kDa，荧光定位发现该蛋白质定位于酵母内质网上<sup>[11]</sup>，体外实验验证该酶在内质网膜外侧具有糖基转移酶活性。以 DPGn<sub>2</sub>M<sub>3</sub> 为底物，GDP-Man 为糖基供体催化形成 DPGn<sub>2</sub>M<sub>4</sub> 和 DPGn<sub>2</sub>M<sub>5</sub> 的多萜醇寡糖前体<sup>[12]</sup>。在酵母中该基因的缺失可以导致 N-糖基化不完全，酵母生长缓慢，并在 37℃ 条件下出现致死的现象。人体中该基因的突变可以导致先天性糖基化缺陷 CDG-I<sub>p</sub>（congenital disorders of glycosylation, CDG），严重影响人类的生长发育。在体外已经有许多研究对糖基转移酶 Alg11 功能以及特征进行表征，而这些研究使用的底物多为天然底物 DPGn<sub>2</sub>M<sub>3</sub><sup>[11, 12]</sup>。由于 DPGn<sub>2</sub>M<sub>3</sub> 从动植

物组织中提取效率低，且 DPGn<sub>2</sub>M<sub>3</sub> 结构中多萜醇（Dolichol）的碳链较长，导致其合成和纯化难度很高，因此对于糖基转移酶 Alg11 结构以及酶学性质研究造成阻碍。具有与多萜醇类似结构而碳链较短的植醇（Phytol）成为体外合成 Alg1/Alg2/Alg11 复合体底物 DPGn<sub>2</sub> 中脂肪链部分的首选<sup>[13, 14]</sup>。近年来开发出的通过化学法将植醇与壳二糖偶联合成出 PPGn<sub>2</sub> 的方法，为研究 N-糖基转移酶性质开辟了新途径<sup>[13]</sup>。此外，本实验室前期在大肠杆菌中表达了酵母来源的重组蛋白 Alg1ΔTM 和 Trx-Alg2，并对其蛋白质性质进行了详细研究<sup>[15]</sup>。Alg1ΔTM 和 Trx-Alg2 以 PPGn<sub>2</sub> 为底物，GDP-Man 为糖基供体经过两步催化生成糖基转移酶 Alg11 的适合底物 PPGn<sub>2</sub>M<sub>3</sub>。利用化学酶法快速高效的合成底物类似物 PPGn<sub>2</sub>M<sub>3</sub> 对体外研究 Alg11 酶学性质提供了重要的底物基础。

与真核表达系统相比，原核表达系统具有操作简单，周期短，成本低的特点。本实验在原核表达系统中诱导表达酿酒酵母来源的重组 Alg11 并在体外得到纯化的蛋白，进而对其功能及生物学性质进行研究。

## 1 材料与方法

### 1.1 材料

#### 1.1.1 主要试剂和仪器

DNA 聚合酶 Primer Star GLX, DNA 连接酶 Ligation Mix 购自大连宝生物工程公司；SDS-PAGE 蛋白凝胶制备试剂盒，BCA 蛋白浓度试剂盒，Clarity™ Western ECL Substrate 显色剂购自碧云天生物；Anti-His Mouse mAb，Goat Anti-Mouse IgG HRP，BluePlus II Protein Marker，1Kb Plus DNA Ladder 购自北京全式金生物公司；异丙基-β-D-硫代半乳糖苷，SanPrep 胶回收试剂盒，SanPrep 产物纯化试剂盒，SanPrep 柱式质粒 DNA 小型抽提试剂盒购自生工生物工程公

司；甘露糖苷酶购自纽英伦生物技术有限公司；1 mL HisTrap HP 亲和层析柱、半干电转仪、ImageQuant™ LAS 4000 mini 显像仪购自美国通用电气公司；三重四极杆液质连用仪购自美国赛默飞世尔科技公司；液相色谱柱 1.7  $\mu\text{m}$  2.1 $\times$ 100 mm 购自美国沃特世公司。其他试剂均为国产分析纯。

#### 1.1.2 菌种，质粒和培养基

大肠杆菌 DH5 $\alpha$ ，表达菌株 Rosetta (DE3)，载体 pET28a 均为本实验室保存。YT 培养基：1.6 % (W/V) 蛋白胨，1 % (W/V) 酵母提取物，0.5 % (W/V) NaCl；TB 培养基 (1 L)：1.2 % (W/V) 蛋白胨，2.4 % (W/V) 酵母提取物，0.4 % (V/V) 甘油，17 mM  $\text{KH}_2\text{PO}_4$ ，72 mM  $\text{K}_2\text{HPO}_4$ 。

#### 1.2 方法

##### 1.2.1 Alg11 蛋白质跨膜域结构分析

将糖基转移酶 Alg11 的氨基酸序列 (GB:AAB49937.1) 输入到 TMHMM (<http://www.cbs.dtu.dk/services/TMHMM/>) 中，进行跨膜域结构分析。

##### 1.2.2 pET28a-Alg11<sub>45-548</sub> 质粒的构建

通过蛋白质结构分析发现酿酒酵母 Alg11 具有一个 N 端的跨膜域，将其跨膜域移除得到截短型蛋白 Alg11<sub>45-548</sub>。以酵母 W303a 基因组为模板扩增 ALG11<sub>45-548</sub> 目的基因片段，并在引物中分别加入 *Bam*H I 和 *Hind* III 限制性酶切位点，上游引物：AAAAGGATCCGTGTATTCCAGCTTGAATCC (划线部分为 *Bam*H I 酶切位点)，下游引物：AAAAAAGCTTTCAGCCCCTTTCCTCCTCTT (划线部分为 *Hind* III 酶切位点)。PCR 程序为：98 $^{\circ}\text{C}$  预变性 10 min，98 $^{\circ}\text{C}$  变性 10 s，55 $^{\circ}\text{C}$  退火 30 s，68 $^{\circ}\text{C}$  延伸 2 min，30 个循环后在 68 $^{\circ}\text{C}$  延伸 2 min。目的片段经凝胶回收后通过双酶切插入至 pET-28a 载体的 *Bam*H I 和 *Hind* III 位点之间。转化大肠杆菌 DH5 $\alpha$  后经菌落 PCR、提质粒酶切等方法筛选出符合要求的阳性克隆，进行

DNA 测序验证。

##### 1.2.3 蛋白的诱导表达纯化以及膜成分制备

将 pET28a-Alg11<sub>45-548</sub> 质粒转化到 Rosetta (DE3) 大肠杆菌中得到重组菌 Rosetta (DE3) /pET28a-Alg11<sub>45-548</sub>。挑取单菌落接种到含有 50  $\mu\text{g/L}$  卡那霉素和 34  $\mu\text{g/mL}$  氯霉素 的 5 mL YT 培养基中，37 $^{\circ}\text{C}$ 、220 r/min 过夜培养 (约 12 小时)。按照 1 % 接种于含有同浓度卡那霉素和氯霉素的新鲜 TB 培养基中，37 $^{\circ}\text{C}$ 、220 r/min 培养至 OD<sub>600</sub> 约 0.6 时，将摇床温度调至 16 $^{\circ}\text{C}$ ，取 1 mL 菌液作诱导前对照，待培养基温度降低后添加异丙基- $\beta$ -D-硫代半乳糖苷 (Isopropyl  $\beta$ -D-Thiogalactoside, IPTG)，诱导温度 16 $^{\circ}\text{C}$ ，220 r/min。诱导后取 1 mL 菌液作诱导后对照，9000 r/min，4 $^{\circ}\text{C}$  离心 5 min 收集菌体。用缓冲液 I (150 mM NaCl; 50 mM Tris-HCl, pH 8.0) 重悬菌体，将菌体冰浴超声破碎 (超声 5 s，停 5 s，持续 20 min) 后 15000 r/min，4 $^{\circ}\text{C}$  离心 30 min。离心上清液经过 1 mL HisTrap HP 亲和层析柱后，经过缓冲液 I 和缓冲液 II (150 mM NaCl; 50 mM Tris-HCl; 60 mM 咪唑, pH 8.0) 洗脱，最后用缓冲液 III (150 mM NaCl; 50 mM Tris-HCl; 500 mM 咪唑, pH 8.0) 洗脱。收集各部分流穿液进行聚丙烯酰胺凝胶电泳分析，对检测到目的条带的蛋白溶液进行透析除盐处理、浓缩后，进行蛋白活性鉴定。

另外，实验用到的 Alg1 $\Delta$ TM 和含有 Trx-Alg2 的大肠杆菌膜的制备方法参考文献 [15, 16]。流程如下：将 pET28a-Alg1 $\Delta$ TM 和 pET32a-Trx-Alg2 质粒转化到 Rosetta (DE3) 大肠杆菌中，蛋白质表达步骤同 Alg11<sub>45-548</sub>。

Alg1 $\Delta$ TM 纯化方法：收集到的菌体经过超声破碎后，15000 r/min，4 $^{\circ}\text{C}$  离心 99 min。弃上清，将沉淀用缓冲液 IV (150 mM NaCl; 50 mM Tris-HCl; 1% Triton X-100, pH 8.0) 吹打混匀，在冰上孵育 30 min。15000 r/min，4 $^{\circ}\text{C}$

离心 30 min, 离心后得上清经过 1 mL His Trap HP 亲和层析柱后, 经过缓冲液 IV 洗脱杂蛋白, 用含 60 mM 咪唑缓冲液 IV 洗脱非特异性杂蛋白, 最后用含 500 mM 咪唑缓冲液 IV 洗脱目的蛋白, 经过蛋白透析浓缩得到 Alg1 $\Delta$ TM。

含有 Trx-Alg2 的大肠杆菌膜制备方法: 收集到的菌体经过超声破碎后, 4000 r/min, 4℃ 离心 20 min。取上清部分用 60000 r/min, 4℃ 离心 60 min。弃上清, 保留沉淀部分。沉淀部分用缓冲液 V (20 mM MES; 10 mM MgCl<sub>2</sub>; 1 mM DTT; 30 % 甘油, pH 6.0) 重新溶解, 即得到含有 Trx-Alg2 的大肠杆菌膜。

#### 1.2.4 蛋白质印迹法检测蛋白表达

用 12 % 的 SDS-PAGE 检测蛋白 Alg1<sub>145-548</sub> 的表达情况。半干法转膜后 5 % 脱脂牛奶封闭 1 小时; 一抗 Anti-His Mouse mAb 稀释 5000 倍, 室温孵育 1 小时; 二抗 Goat Anti-Mouse IgG HRP 稀释 5000 倍, 室温孵育 1 小时; 用 Clarity™ Western ECL Substrate 显色液显色, ImageQuant™ LAS 4000 mini 显像系统对电泳结果进行分析。

#### 1.2.5 Alg1<sub>145-548</sub> 的活性测定

Alg1<sub>145-548</sub> 催化的糖基反应条件如下: 底物为 PPGn<sub>2</sub>M<sub>3</sub>, GDP-Man 为糖基供体, 纯化的 Alg1<sub>145-548</sub> 进行催化, 最后液质联用方法检测终产物。PPGn<sub>2</sub>M<sub>3</sub> 的反应体系如下: PPGn<sub>2</sub> (50  $\mu$ M), GDP-Man (2 mM), Alg1 $\Delta$ TM (80 ng/mL) 和含有 Trx-Alg2 的大肠杆菌膜 (150  $\mu$ g/mL) 反应缓冲液 (20 mM Tris-HCl, 1 mM 二硫苏糖醇, 0.15 mM 乙二胺四乙酸, 0.13 % NP-40 和 10 mM MgCl<sub>2</sub> (50  $\mu$ L, pH 7.2) [15, 16]。30℃ 反应 12 小时后, 加入纯化的 Alg1<sub>145-548</sub> (100  $\mu$ g/mL), 继续在 30℃ 反应 12 小时。反应结束后加入 40 mM 的盐酸溶液, 混合震荡均匀后 100℃ 加热 1 小时, 使糖链与脂肪链之间磷酸键断裂。加入 2 % 的乙腈溶液于反应液

中, 剧烈震荡后 15000 r/min 离心 10 min, 取上清液使用固相萃取方法纯化糖链。上样后先用 10 mL 2 % 的乙腈洗脱, 然后用 3 mL 25 % 的乙腈洗脱, 并收集流穿液, 冷冻干燥后重溶于纯水中。糖链用液质联用方法进行检测, 液相条件为: 流动相 A 乙腈, 流动相 B 纯水; 梯度: 0-2 min, 20 % B; 2-15 min, 20-50 % B; 15-18 min, 50 % B; 流速: 0.2 mL/min, 柱温 40℃。质谱条件为: 正离子模式, 检测范围 400-1600 m/z。

#### 1.2.6 甘露糖苷酶鉴定甘露糖之间链键

水解后的糖链重溶于 40  $\mu$ L 纯水中, 取 7  $\mu$ L 的重溶糖链 (Gn<sub>2</sub>M<sub>5</sub>), 加入 3 mU 的  $\alpha$ -1,2-、 $\alpha$ -1,6-、 $\alpha$ -1,2,3 甘露糖苷酶, 2  $\mu$ L 的 5 $\times$ 反应缓冲液。反应置于 30℃ 12 小时后, 100℃ 加热处理 10 min。15000 r/min 离心 10 min, 取上清检测终产物, 检测方法与 1.2.4 相同。

#### 1.2.7 Alg1<sub>145-548</sub> 底物特异性

以不同底物测试酶底物特异性, 包括 PPGn<sub>2</sub>、PPGn<sub>2</sub>M<sub>1</sub>、PPGn<sub>2</sub>M<sub>3</sub> 和 Gn<sub>2</sub>M<sub>3</sub>。PPGn<sub>2</sub>M<sub>1</sub> 由起始底物 PPGn<sub>2</sub>, Alg1  $\Delta$  TM 反应得到; PPGn<sub>2</sub>M<sub>3</sub> 由起始底物 PPGn<sub>2</sub>, Alg1  $\Delta$  TM 和 Trx-Alg2 反应得到; Gn<sub>2</sub>M<sub>3</sub> 由 PPGn<sub>2</sub>M<sub>3</sub> 酸解纯化得到。反应及检测方法与 1.2.4 相同。

## 2 结果与讨论

### 2.1 Alg11 蛋白质跨膜域结构分析

从图 1 可以看出, 糖基转移酶 Alg11 在 N 端具有一个跨膜结构域 (Transmembrane domain, TMD), 所属氨基酸为 23-45 位, 其中第 1-22 位氨基酸位于膜内侧, 第 46-548 位氨基酸位于膜外侧。根据文献报道, 将其跨膜域移除, 截短型蛋白 Alg1<sub>145-548</sub> 在酵母中仍具有糖基转移酶活性, 为体外表达糖基转移酶 Alg11 提供了一定的实验基础<sup>[12]</sup>。



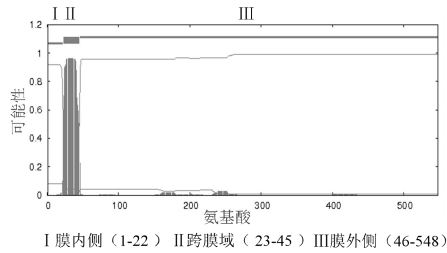


图 1 Alg11 蛋白质跨膜域结构分析

Fig. 1 Analysis of the transmembrane domain structure of Alg11 protein

## 2.2 Alg11<sub>45-548</sub> 基因扩增及表达质粒的构建与鉴定

表达质粒 pET28a-Alg11<sub>45-548</sub> 结构如图 2a。目的基因 Alg11<sub>45-548</sub> 从酵母基因组 PCR 扩增后电泳验证 (图 2b)，PCR 产物显示唯一一条带，大小位于 1500 bp 左右，与理论值 1515 bp 相一致。构建好的表达质粒经酶切后电泳验证 (图 2c)，显示为得到两个条带，下端条带大小与 PCR 产物一致，应为目的基因条带；上端条带为载体片段。该质粒经过测序验证无碱基突变，说明表达质粒构建成功。

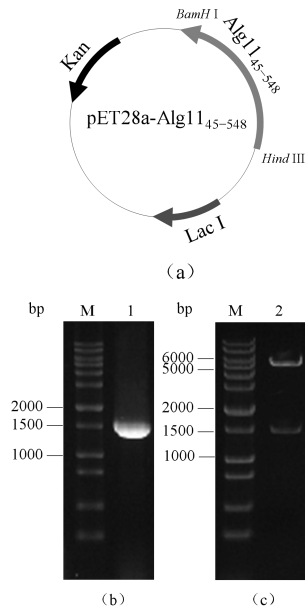


图 2 表达质粒 pET28a-Alg11<sub>45-548</sub> 的构建

Fig. 2 Construction of pET28a-Alg11<sub>45-548</sub>

(a) plasmid map of pET28a-Alg11<sub>45-548</sub> (b) PCR amplification of Alg11<sub>45-548</sub> from genome, M: 1 Kb plus DNA marker, 1: PCR product of Alg11<sub>45-548</sub> (c) identification of recombinant expression vector, M: 1 Kb plus DNA marker, 2:

pET28a-Alg11<sub>45-548</sub> digested with *Bam*HI 和 *Hind* III

## 2.3 诱导时间和 IPTG 浓度对蛋白表达的影响

重组菌在 TB 培养基中诱导表达过程中，从加入诱导剂 IPTG 开始，每隔一小时取样一次，离心收集菌体检测蛋白表达水平 (图 3)。利用蛋白质印迹法检测目的蛋白表达水平，从 2 小时开始，目的蛋白开始表达。随着时间推移，目的蛋白的条带逐渐清晰，蛋白条带位于 50-70 kDa 之间。当诱导时间 20 小时，目的蛋白条带积累达到最高 (图 3a)。

重组菌在 TB 培养基中诱导表达过程中，加入不同浓度的诱导剂，16℃ 诱导 20 小时后收集菌体检测目的蛋白的表达情况 (图 3)。当 IPTG 浓度为 10-100 μM 时，目的蛋白表达量与 IPTG 浓度呈现正比例提高，分别是 100 μM 时的 0.28、0.72、0.95 倍。当 IPTG 浓度为 100 μM 时，目的蛋白的表达量达到最高。当 IPTG 浓度为超过 100 μM 时，目的蛋白的表达量减少，分别是 100 μM 时的 0.72、0.56、0.87 倍 (图 3b)。为了获得更多的目的蛋白，本实验采用的诱导时间为 20 小时，IPTG 浓度为 100 μM。

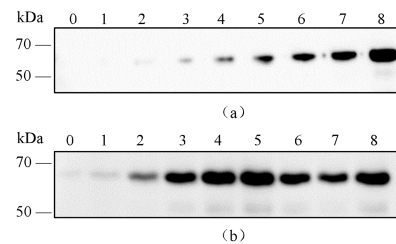


图 3 诱导时间 (a) 和 IPTG 浓度 (b) 对目的蛋白表达的影响

Fig.3 Effect of induction time (a) and IPTG concentration (b) on protein expression

Expression of recombinant protein in different time and IPTG concentration. (a) 0: 0 h; 1: 1 h; 2: 2 h; 3: 3 h; 4: 4 h; 5: 5 h; 6: 6 h; 7: 7 h; 8: 20 h, 100 μM IPTG. (b) 0: 0 μM IPTG; 1: 10 μM IPTG; 2: 25 μM IPTG; 3: 50 μM IPTG; 4: 75 μM IPTG; 5: 100 μM IPTG; 6: 500 μM; 7: 1000 μM IPTG; 8: 2000 μM IPTG, 20 h

## 2.4 Alg11<sub>45-548</sub> 目的蛋白的纯化

重组菌在 TB 培养基中诱导培养 20 小时，IPTG 浓度为 100  $\mu$ M。离心收集菌体，超声破碎后离心收集上清。用 1 mL HisTrap 亲和层析柱进行纯化，洗脱液用 12% SDS-PAGE 分析。

从蛋白电泳图中得到 (图 4a)，与诱导前相比，诱导后在 50-70 kDa 之间出现一条明显的蛋白条带，目的蛋白的理论分子量为 57.8 kDa，相对分子质量和预期的大小一致，表明蛋白在大肠杆菌中表达成功。经过纯化后得到一条清晰的蛋白条带，与诱导后条带相一致。用抗 His-tag 多克隆抗体对纯化后的蛋白进行 Western blot 验证 (图 4b)，与诱导前相比，诱导后和纯化后出现一条特异性条带，且蛋白条带大小与目的蛋白一致，位于 50-70 kDa 之间，表明目的蛋白成功从大肠杆菌破碎上清液中纯化得到。对含有目的蛋白的洗脱液进行透析浓缩处理，产量约为 1.75 mg/100 mL 培养基。

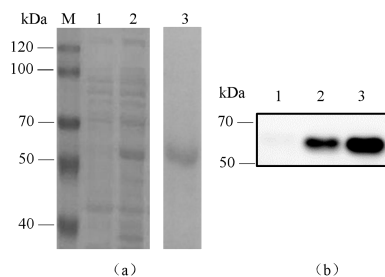


图 4 全细胞和纯化后蛋白质电泳图(a)和 Western blot 验证图 (b)

Fig.4 SDS-PAGE (a) and Western blot (b) of recombinant cell and purified Alg1145-548

(a) Samples were applied to gel electrophoresis followed by staining with Coomassie brilliant blue R-250 (b) Western blot verification of the purified protein. M: Marker; 1: Whole cell before inducing; 2: Whole cell after inducing with 100  $\mu$ M IPTG; 3: purified Alg1145-548

### 2.5 Alg1145-548 活性分析

以 PPGn<sub>2</sub> 为起始底物，由 Alg1  $\Delta$  TM 和 Trx-Alg2 催化得到 PPGn<sub>2</sub>M<sub>3</sub>，纯化后的 Alg1145-548 加入到反应体系反应 12 小时后，PPGn<sub>2</sub>M<sub>3</sub> 转化形成 PPGn<sub>2</sub>M<sub>5</sub>，经过稀盐酸的裂解将糖链与

脂肪链分离开，运用液质联用的方法检测糖链 (图 5a)。在反应前底物酸解得到的糖链 Gn<sub>2</sub>M<sub>3</sub> 在液相中洗脱时间为 12.49 和 12.71 min；当反应时间 4 小时，产物 Gn<sub>2</sub>M<sub>4</sub> 和 Gn<sub>2</sub>M<sub>5</sub> 生成，洗脱时间分别为 13.65 和 14.58 min，中间体 Gn<sub>2</sub>M<sub>4</sub> 的积累量很少，说明第二步的酶催化反应效率很高。当反应时间 12 小时，底物 Gn<sub>2</sub>M<sub>3</sub> 和中间体 Gn<sub>2</sub>M<sub>4</sub> 完全消失，只有终产物 Gn<sub>2</sub>M<sub>5</sub> 存在 (图 5b)。质谱验证各糖链的分子量，结果显示所有糖链离子峰均为分子量加钠峰 [M+Na]<sup>+</sup>。其中底物 Gn<sub>2</sub>M<sub>3</sub> 离子峰为 933.23 m/z；中间体 Gn<sub>2</sub>M<sub>4</sub> 离子峰为 1095.22 m/z；终产物 Gn<sub>2</sub>M<sub>5</sub> 离子峰为 1257.43 m/z (图 5c)。各糖链离子峰依次增加 162 (已糖脱除一个水分子)，可以证实底物 PPGn<sub>2</sub>M<sub>3</sub> 与糖基供体 GDP-Man 反应生成 PPGn<sub>2</sub>M<sub>4</sub> 和 PPGn<sub>2</sub>M<sub>5</sub>。

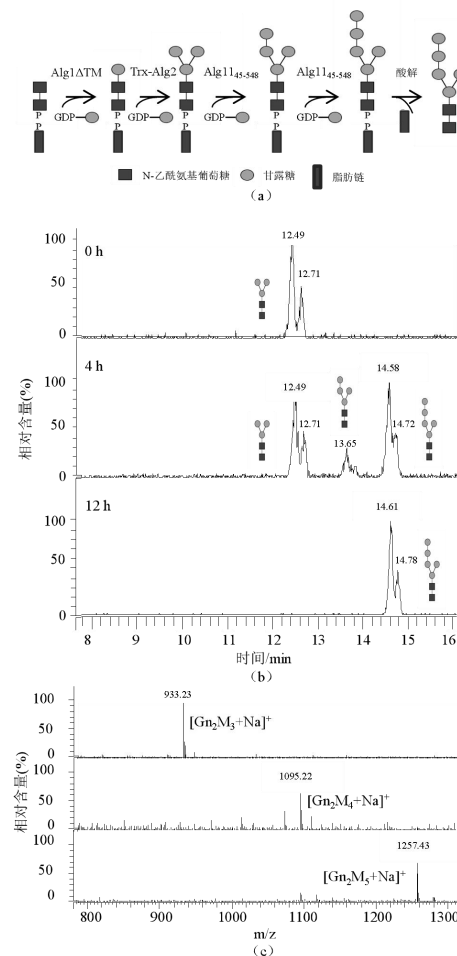


图5 重组蛋白活性分析及产物检测

Fig.5 The oligosaccharide was detected by LC-MS

(a) A schematic diagram of glycosylation of Alg1ΔTM, Trx-Alg2 and Alg11<sub>45-548</sub> (b) Elution time of various oligosaccharide in Ultra Performance Liquid Chromatography (c) Ion peaks of different oligosaccharides in mass spectrometry

## 2.6 甘露糖苷酶鉴定产物结构

为了鉴定新添加的两个甘露糖与底物 PPGn<sub>2</sub>M<sub>3</sub> 之间的糖苷键, 本文运用甘露糖苷酶酶切的方法进行验证。将糖链 Gn<sub>2</sub>M<sub>5</sub> (图 6, A) 分别经过 $\alpha$ -1,2 甘露糖苷酶酶切 (图 6, B),  $\alpha$ -1,2,3 甘露糖苷酶酶切 (图 6, C),  $\alpha$ -1,2,3 和 $\alpha$ -1,6 甘露糖苷酶酶切 (图 6, D),  $\alpha$ -1,6 甘露糖苷酶酶切 (图 6, E), 检验糖链变化分析糖链结构。 $\alpha$ -1,2 甘露糖苷酶酶切后糖链洗脱时间为 12.59 和 12.71 min, 质谱检测结构为 Gn<sub>2</sub>M<sub>3</sub>, 说明新生成的两个甘露糖 $\alpha$ -1,2 糖苷键形式连接到底物 PPGn<sub>2</sub>M<sub>3</sub> (图 6, B);  $\alpha$ -1,2,3 甘露糖苷酶酶切后的糖链洗脱时间为 10.78 和 10.88 min, 质谱鉴定结构为 Gn<sub>2</sub>M<sub>2</sub> (图 6, C);  $\alpha$ -1,2,3 和 $\alpha$ -1,6 甘露糖苷酶酶切后糖链洗脱时间为 9.05 和 9.35 min, 质谱鉴定糖链为 Gn<sub>2</sub>M<sub>1</sub> (图 6, D);  $\alpha$ -1,6 甘露糖苷酶酶切后洗脱的仍然为 Gn<sub>2</sub>M<sub>5</sub>, 洗脱时间为 14.60 和 14.77 min, 该现象由于 $\alpha$ -1,6 甘露糖苷酶无法识别具有 $\alpha$ -1,3 支链的 $\alpha$ -1,6 甘露糖 (图 6, E)。本实验用甘露糖苷酶酶切方法验证了新生成的两个甘露糖均以 $\alpha$ -1,2 糖苷键的连接方式与 PPGn<sub>2</sub>M<sub>3</sub> 相连, 该连接方式与以前报道的连接方式相同<sup>[11]</sup>。

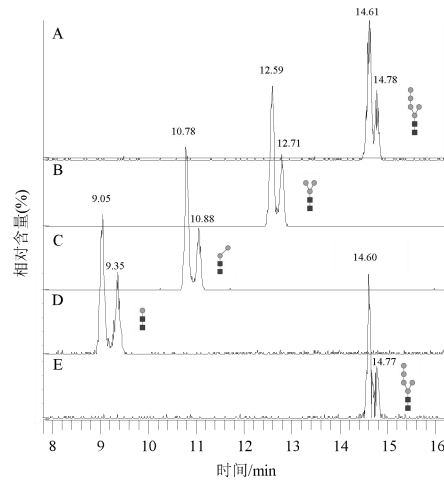


图6 甘露糖苷酶验证产物

Fig.6 Product verification by Mannosidases

Ultra Performance Liquid Chromatography profiles of: A: Gn<sub>2</sub>M<sub>5</sub> B-E: oligosaccharide after digesting Gn<sub>2</sub>M<sub>5</sub> by different mannosidase. B:  $\alpha$ -1,2 mannosidase; C:  $\alpha$ -1,2,3 mannosidase; D:  $\alpha$ -1,2,3 and  $\alpha$ -1,6 mannosidase; E:  $\alpha$ -1,6 mannosidase

## 2.7 Alg11<sub>45-548</sub> 的底物特异性

在体内 Alg11 以 DPGn<sub>2</sub>M<sub>3</sub> 为底物合成 DPGn<sub>2</sub>M<sub>4</sub> 和 DPGn<sub>2</sub>M<sub>5</sub>。为了验证 N-糖基化中间体 DPGn<sub>2</sub> 和 DPGn<sub>2</sub>M<sub>1</sub> 能否被 Alg11 利用, 通过化学酶法合成 N-糖基化中间体类似物 PPGn<sub>2</sub>、PPGn<sub>2</sub>M<sub>1</sub>、PPGn<sub>2</sub>M<sub>3</sub>, 在体外验证 Alg11<sub>45-548</sub> 的底物特异性。当底物为 PPGn<sub>2</sub>M<sub>3</sub> 时反应可以生成 PPGn<sub>2</sub>M<sub>5</sub>, 在液相中洗脱峰为 Gn<sub>2</sub>M<sub>5</sub> (图 7, A); 当底物为 PPGn<sub>2</sub> 时, 在液相中洗脱的糖链为 Gn<sub>2</sub>, 洗脱时间为 5.86 和 6.25 min (图 7, B); 当底物为 PPGn<sub>2</sub>M<sub>1</sub> 时, 在液相中洗脱的糖链为 Gn<sub>2</sub>M<sub>1</sub>, 洗脱时间为 9.05 和 9.45 min (图 7, C)。说明在体外 Alg11<sub>45-548</sub> 依然保持 N-糖基化的保守性, 特异性识别唯一底物 PPGn<sub>2</sub>M<sub>3</sub>, PPGn<sub>2</sub> 和 PPGn<sub>2</sub>M<sub>1</sub> 不能被识别。为了验证底物中脂肪链对酶识别底物影响, 将 PPGn<sub>2</sub>M<sub>3</sub> 用稀酸酸解纯化出 Gn<sub>2</sub>M<sub>3</sub>。当底物为 Gn<sub>2</sub>M<sub>3</sub> 时, 在液相中洗脱的糖链仍为 Gn<sub>2</sub>M<sub>3</sub>, 洗脱时间为 12.56 和 12.76 min (图 7, D), 表明该酶无法识别糖链 Gn<sub>2</sub>M<sub>3</sub>, 底物 PPGn<sub>2</sub>M<sub>3</sub> 中的脂肪链结构对酶识别底物起到重要作用。

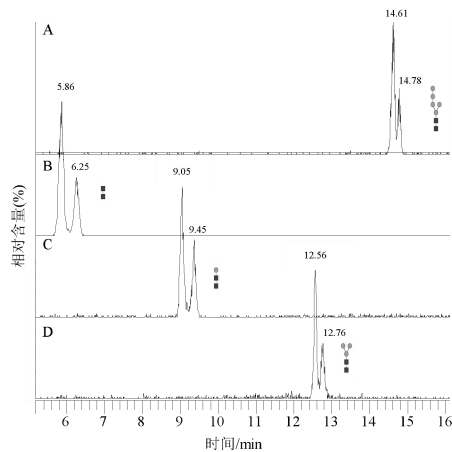


图 7 Alg11<sub>45-548</sub> 的底物特异性

Fig.7 The substrate specificity of Alg11<sub>45-548</sub>

Reactions with different substrates. A: PPGn<sub>2</sub>M<sub>3</sub>; B: PPGn<sub>2</sub>; C: PPGn<sub>2</sub>M<sub>1</sub>; D: Gn<sub>2</sub>M<sub>3</sub>

### 3 结论

本研究成功地在*大肠杆菌*中表达了酵母来源的 Alg11 并对其进行了纯化。通过分析 Alg11 蛋白质跨膜域结构发现其具有一个明显的 N 端跨膜域结构, 将跨膜域移除后进行重组表达, 构建出能够可溶性表达的 Alg11<sub>45-548</sub> 蛋白。研究中, 首先对蛋白表达的诱导时间, 诱导剂浓度等诱导条件进行优化发现当诱导时间为 20 小时, 诱导剂浓度为 100  $\mu$ M 时, 目的蛋白的表达量达到最高。随后, 在体外对纯化的 Alg11<sub>45-548</sub> 进行生物活性分析, 证实 Alg11<sub>45-548</sub> 具有催化 PPGn<sub>2</sub>M<sub>3</sub> 形成 PPGn<sub>2</sub>M<sub>4</sub> 和 PPGn<sub>2</sub>M<sub>5</sub> 的糖基转移酶生物学功能。在用不同甘露糖苷酶进行产物鉴定时, 证明 PPGn<sub>2</sub>M<sub>5</sub> 中新加上的两个甘露糖以  $\alpha$ -1,2 糖苷键的形式连接到底物 PPGn<sub>2</sub>M<sub>3</sub> 上。最后, 以 N-糖基化过程的中间体类似物 PPGn<sub>2</sub>、PPGn<sub>2</sub>M<sub>1</sub> 和 PPGn<sub>2</sub>M<sub>3</sub> 为底物, 在体外证明 Alg11 特异性识别底物 PPGn<sub>2</sub>M<sub>3</sub>, 同时证明底物 PPGn<sub>2</sub>M<sub>3</sub> 中脂肪链结构对酶识别底物具有重要作用。本研究对 N-糖基化过程中糖基转移酶 Alg11 的体外活性进行了研究, 为研究 Alg11 酶学性质以及结构解析提供帮助, 同

时, 反应中生成的产物 PPGn<sub>2</sub>M<sub>5</sub> 为 N-糖基化后续反应中的翻转酶和糖基转移酶 Alg3 提供了底物, 而且本实验运用液质联用的方法检测酵母来源的 Alg11 的活性, 为体外研究 CDG-I<sub>P</sub> 病人中糖基转移酶 Alg11 突变体活性提供了新的方法。

### 参考文献

- [1] WIEDERSCHAIN G Y. Essentials of glycobiology [J]. Biochemistry (Moscow), 2009, 74(9): 1056-.
- [2] LARKIN A, IMPERIALI B. The expanding horizons of asparagine-linked glycosylation [J]. Biochemistry, 2011, 50(21): 4411-26.
- [3] BICKEL T, LEHLE L, SCHWARZ M, et al. Biosynthesis of Lipid-linked Oligosaccharides in *Saccharomyces cerevisiae* Alg13p AND Alg14p FORM A COMPLEX REQUIRED FOR THE FORMATION OF GlcNAc2-PP-DOLICHOL [J]. Journal of Biological Chemistry, 2005, 280(41): 34500.
- [4] GAO X D, TACHIKAWA H, SATO T, et al. Alg14 recruits Alg13 to the cytoplasmic face of the endoplasmic reticulum to form a novel bipartite UDP-N-acetylglucosamine transferase required for the second step of N-linked glycosylation [J]. Journal of Biological Chemistry, 2005, 280(43): 36254.
- [5] XD G, S M, N M, et al. Interaction between the C termini of Alg13 and Alg14 mediates formation of the active UDP-N-acetylglucosamine transferase complex [J]. Journal of Biological Chemistry, 2008, 283(47): 32534-41.
- [6] O'REILLY M K, ZHANG G, IMPERIALI B. In vitro evidence for the dual function of Alg2 and Alg11: essential mannosyltransferases in N-linked glycoprotein biosynthesis [J]. Biochemistry, 2006, 45(31): 9593.
- [7] RAM REZ A S, BOILEVIN J, LIN C W, et al. Chemo-enzymatic synthesis of lipid-linked GlcNAc2Man5 oligosaccharides using recombinant Alg1, Alg2 and Alg11 proteins [J].



Glycobiology, 2017, 1-8.

[8] BURDA P, AEBI M. The dolichol pathway of N-linked glycosylation [J]. Biochimica et Biophysica Acta (BBA) - General Subjects, 1999, 1426(2): 239-57.

[9] SCHWARZ F, AEBI M. Mechanisms and principles of N-linked protein glycosylation [J]. Current opinion in structural biology, 2011, 21(5): 576-82.

[10] JR D R, IMPERIALI B. Oligosaccharyl transferase: gatekeeper to the secretory pathway [J]. Current Opinion in Chemical Biology, 2002, 6(6): 844-50.

[11] CIPOLLO J F, TRIMBLE R B, CHI J H, et al. The yeast ALG11 gene specifies addition of the terminal  $\alpha$  1,2-Man to the Man5GlcNAc2-PP-dolichol N-glycosylation intermediate formed on the cytosolic side of the endoplasmic reticulum [J]. The Journal of biological chemistry, 2001, 276(24): 21828-40.

[12] ABSMANNER B, SCHMEISER V, KAMPF M, et al. Biochemical characterization, membrane association and identification of amino acids essential for the function of Alg11 from *Saccharomyces cerevisiae*, an

$\alpha$ 1,2-mannosyltransferase catalysing two sequential glycosylation steps in the formation of the lipid-linked core oligosaccharide [J]. The Biochemical journal, 2010, 426(2): 205-17.

[13] FLITSCH S L, PINCHES H L, TAYLOR J P, et al. Chemo-enzymatic synthesis of a lipid-linked core trisaccharide of N-linked glycoproteins [J]. Journal of the Chemical Society, Perkin Transactions 1, 1992, 16): 2087.

[14] WILSON I B, TAYLOR J P, WEBBERLEY M C, et al. A novel mono-branched lipid phosphate acts as a substrate for dolichyl phosphate mannose synthetase [J]. Biochemical Journal, 1993, 295 ( Pt 1)(1): 195.

[15] LI S T, WANG N, XU S, et al. Quantitative study of yeast Alg1  $\beta$ -1, 4 mannosyltransferase activity, a key enzyme involved in protein N-glycosylation [J]. Biochimica et biophysica acta, 2017, 1861(1 Pt A): 2934-41.

[16] LI S-T, WANG N, XU X-X, et al. Alternative routes for synthesis of N-linked glycans by Alg2 mannosyltransferase [J]. The FASEB Journal, 2017, fj. 201701267R.

## Expression, purification and activity assay of yeast $\alpha$ -1,2

### mannosyltransferase Alg11

LI Qing-meng LI Sheng-tao WANG Ning GAO Xiao-dong

(Key Laboratory of Carbohydrate Chemistry and Biotechnology, Ministry of Education, School of Biotechnology, Jiangnan University, Wuxi 214122, China)

**Abstract** Glycosyltransferase Alg11, which is an important protein in N-glycosylation pathway, transfers the mannose moiety from GDP-Man to DPGn<sub>2</sub>M<sub>3</sub> (Dolichyl-pyrophosphate-GlcNAc<sub>2</sub>Mannose<sub>3</sub>), forming DPGn<sub>2</sub>M<sub>4</sub> and DPGn<sub>2</sub>M<sub>5</sub> LLO (lipid-linked oligosaccharide) precursors. The structural analysis of *Saccharomyces cerevisiae* Alg11 showed the prediction of a hydrophobic N-terminal transmembrane domain. Thus, truncated Alg11 lacking the first 44 amino acid was designed and successfully overexpressed in *Escherichia coli*. The induction time and inducer concentration were optimized and the recombinant protein Alg11<sub>45-548</sub> was purified. After the transferase activity assay, reaction mixture was applied to the liquid chromatography tandem mass spectrometry (LC-MS), which showed Alg11<sub>45-548</sub> was capable to generate PPGn<sub>2</sub>M<sub>5</sub> (Phytanyl-pyrophosphate-GlcNAc<sub>2</sub>Mannose<sub>5</sub>) from substrate PPGn<sub>2</sub>M<sub>3</sub>. Structural analysis of Gn<sub>2</sub>M<sub>5</sub> showed the newly formed two glycosidic bonds could be cleaved by  $\alpha$ -1,2 mannosidase, meaning the two mannose moieties were attached to

Gn<sub>2</sub>M<sub>3</sub> by  $\alpha$ -1,2 linkages. Substrate specificity assay indicated the recombinant Alg11 specifically recognized PPGn<sub>2</sub>M<sub>3</sub> rather than other LLOs, such as PPGn<sub>2</sub> and PPGn<sub>2</sub>M<sub>1</sub>. Additionally, oligosaccharide Gn<sub>2</sub>M<sub>3</sub> was not elongated by Alg11<sup>45-548</sup>, suggesting the lipid chain in the substrate PPGn<sub>2</sub>M<sub>3</sub> was critical for the recognition. The achievement of active Alg11 provides an effective tool for producing Gn<sub>2</sub>M<sub>5</sub>, as well as for the further investigation of kinetic and mechanistic features of related mannosyltransferases.

**Key words** N-glycosylation glycosyltransferase Alg11 liquid chromatography tandem mass spectrometry (LC-MS) induction condition